

في دالة التقدم للري الشريطي المستوي باستخدام نموذج مقترن للموازنة الحجمية

يونس محمد حس.

مساعد كلية الهندسة /

تم في هذه الدراسة نموذج رياضي عملي ومبسط لتخمين مسافة تقدم جبهة الماء مع الزمن للري الشريطي المستوي حيث تم دمج معامل الشكل للخزين السطحي وتحت السطحي بمعامل . لفترات زمنية متقاربة على امتداد فترة الإرواء باستخدام بيانات حقلية لثلاث عشر اختباراً تضمنت جميع المتغيرات الداخلة في آلية الري الشريطي . النتائج التي تم الحصول عليها إضافة إلى المتغيرات الداخلة في آلية الري الشريطي حولت إلى عبارات لا بعديه وباستخدام البرنامج الإحصائي (SPSS) تمربط معامل الشكل بالعبارات اللاابعدية على معادله لحساب معامل الشكل المقترن . وللحصول من أداء النموذج المقترن تمت مقارنته ببيانات حقلية فعلية ومع نماذج رياضية أخرى لتخمين مسافة التقدم حيث وجد ان النموذج المقترن أفضل من بقية النماذج في تطابقه مع البيانات الحقلية الفعلية أوضح تحليل الحساسية إن مسافة التقدم تتأثر بشكل ملحوظ بتغير معامل الخشونة ومعدل الجريان وثبتت معادلة كوستا كوف للارتياح ولكن بدرجات متفاوتة كما بين التحليل إن تغير التصريف له التأثير على مسافة التقدم في حين كان تأثير كل من معامل الخشونة وثبتت دالة الارتباط .

Study of the factors affecting water advance function in level border irrigation system using proposed volume balance model

Dr. Younis M. Hassan

Dept. of Dams and Water Resources
University of Mosul

Abstract

A simple and practical model balance system was developed to predict the advanced distance with time in level border irrigation systems, this model proposed the surface and subsurface water storage during irrigation as one unit with a single shape factor changed with advance time, the proposed shape factor was calculated at different time intervals by using 13 field test including all the involved with surface irrigation process. The obtained values of the shape factor in addition to the other variable was grouped in dimensionless terms, the shape factor was correlated with these terms by using (SPSS) statically analysis program. The proposed model was evaluated with afield data and compared with other models, the results shows good agreement between the field data and the proposed model, the study also conclude that that the advance affected significantly by manning roughness, flow rate and kostiakov coefficient in different degrees the analysis also show that the change in discharge have the largest effect on advance distance among the other variables.

Keywords: level border irrigation, volume balance model, shape factor

19 - 5 - 2015 :

3 - 10 - 2013 :

بالرغم من التطور الحاصل في تقنيات الري إلا أن الري السيحي لا يزال طريقة الري الأكثر شيوعاً في العالم وذلك لقلة الحاجة إلى الطاقة وقلة كلفتها . بذلك عدة طرق للري السيحي كالري بالمرور والري بالشرائط المائلة والري بالأحواض أو الشرائط المستوية ، تكون آلية الري السيحي من أربعة أطوار متتالية هي طور التقدم، طور الخزن، طور الاستنزاف وأخيراً طور الانحسار ولما كان طور الانحسار في الري الشريطي المستوي يأخذ خطأً مستقيماً أفقياً لذا أصبح المنحني الرئيسي الذي يتحكم بمقدار فرصة الارتفاع هو منحني التقدم مع الزمن . بذلك نوعان من النماذج الرياضية المستخدمة لإيجاد منحنى التقدم الأولى تعتمد على قانون حفظ الكتلة أو ما يعرف بنماذج الموازنـة الحجمـية والتي تعتمد على قانون حفظ الكتلة إما قانون حفظ الزخم فيستعارض عنـة ببعض الفرضيات الوصـفـية ومنها افتراض معـامل الشـكـل لـلـخـزـينـ عـمقـ الجـريـانـ الدـاخـلـ ثـابـتـ وـيـسـاوـيـ العـمقـ الطـبـيـعـيـ ، [1] [2] [3] [4] [13]

المائلـةـ الحـجمـيـةـ لـحـاسـبـ مـسـافـةـ التـقـدـمـ فيـ الـرـيـ الشـريـطيـ افتراضـاـ انـ التـقـدـمـ يـتـبعـ دـالـةـ اـسـيـهـ

:[1]

$$S = A t_a^a \quad \dots \dots \dots (1)$$

$$\begin{array}{l} \text{(A,B)} \\ \text{ـ ثـوابـتـ وـضـعـيـةـ (ـ بلاـ ،ـ T^B/Lـ)} \\ \text{(T) S} \quad : t_a \\ \text{(L)} \quad : S \end{array}$$

كـوـسـتـاكـوـفـ المـعـبـرـ عـنـهـ كـمـاـ يـأـتـيـ :

$$Z = k t^a \quad \dots \dots \dots (2)$$

$$\begin{array}{l} \text{:Z} \\ \text{(L)} \\ \text{(a,k)} \quad : Z \\ \text{(T)} \quad : t \end{array}$$

الصـيـغـةـ النـهـائـيـةـ لـحـاسـبـ مـسـافـةـ التـقـدـمـ فـيـ :

$$S = \frac{q \cdot t}{\frac{y_n}{1+B} + \frac{F}{1+a} k \cdot t^a} \quad \dots \dots \dots (3)$$

y_n : عـمقـ الجـريـانـ الطـبـيـعـيـ فـيـ بـداـيـةـ المـضـمـارـ (L)
 F = مـعـاملـ كـيـفـرـ وـيـسـاوـيـ التـعـبـيرـ

$$F = \frac{a - (a-1)x_2 + 1}{x_2 + 1} \quad \dots \dots \dots (4)$$

$$X_2 = e^{-0.6a} \quad \dots \dots \dots (5)$$

يعتمـدـ خـدـمـاتـ التـرـيـةـ الـأـمـرـيـكـيـةـ scsـ لـحـاسـبـ مـسـافـةـ التـقـدـمـ بـالـرـيـ الشـريـطيـ المـسـتـوـيـ .ـ وـهـذـاـ

عـلـىـ عـدـةـ فـرـضـيـاتـ مـنـهـاـ الـمـيـلـ الـهـيـدـرـوـلـيـكـيـ يـمـتـمـقـ المـاءـ فـيـ بـداـيـةـ الشـرـيـطـ مـقـسـومـاـ عـلـىـ مـسـافـةـ التـقـدـمـ [5]

$$S = \frac{q \cdot t}{\frac{Kt^a}{1+a} + 0.843 |q^{0.5625} n^{0.375} t^{0.1875}|} \quad \dots \dots \dots (6)$$

: n

هـذـاـ دـرـاسـةـ حـقـلـيـةـ لـلـحـصـولـ عـلـىـ بـيـانـاتـ عـنـ تـقـدـمـ جـبـهـةـ

لـحـاسـبـ عـمقـ الجـريـانـ الدـاخـلـ باـسـتـخـدـامـ المـعـادـلـاتـ التـالـيـةـ [6]

$$y_0^* = 1.272 - 0.217 * (k^*)^{0.523} * a^{0.2} \quad \dots \dots \dots (7)$$

$$y_0^* = \text{عمق الجريان الداخلي}$$

$$y_0^* = y_0 / y_n \quad \dots \dots \dots (8)$$

$$\text{عمق الجريان الداخلي} = y_0$$

$$Y_n = n^{0.375} * q^{0.5625} * t^{0.1875} \quad \dots \dots \dots (9)$$

$$k^* = kt^a / y_n \quad \dots \dots \dots (10)$$

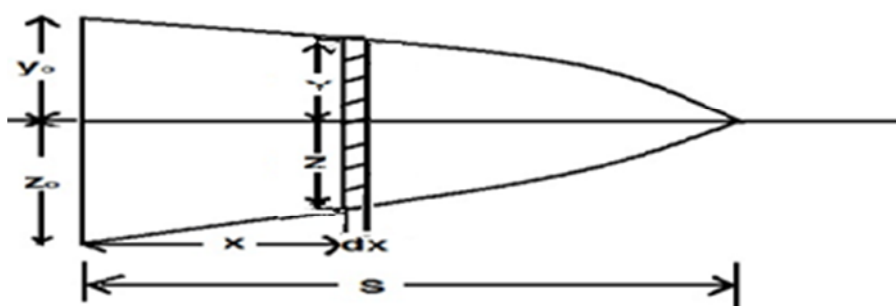
حيث :
 K^*

للتتبُّع بطور التقدم في الري الشريطي يُرضي دالة آسيه الحجمية فضلاً عن معادلة (Zero inertia) عند بداية المضمار حصل على معادلتين لحساب عميق الجريان في بداية المضمار ومسافة التقدم لموجة الماء على سطح التربة وبحل المعادلتين عند كل فترة زمنية M أو Zero inertia توليد قاعدة بيانات بصيغة لأبعديه لحجم الخزين السطحي أثناء التقدم بتطبيق تقنية التحليل البعدى تم إيجاد معادلات لتخمين معامل الشكل السطحي وتحت السطحي. النوع الآخر من النماذج الرياضية هي النماذج الدينامية والتي تعتمد على حلول عدديه مقدمة لمعادلات دينامية الجريان غير المستقر في القنوات المفتوحة [9],[10]. إن زمان التقدم مستخدماً طريقة (Newton Raphson) لإيجاد مسافة التقدم [7]. [8] إلى طريقة مطورة لتخمين حجم الخزين السطحي أفضل من الموديلات الهيدرولوجية المستخدمة وأسرع من نماذج (Zero inertia).

التحليل

بعد بدء تجهيز المضمار بالماء ينساب الماء بفعل العميق الناشئ في بداية المضمار باتجاه نهايته مشكلاً جبهة ابتلال على سطح التربة وبنفس الوقت ينساب متعركاً عمودياً داخل التربة مشكلاً جبهة ابتلال تحت سطح التربة يتحرك عمودياً وأفقياً. خلال أي فترة زمنية (t) منذ بداية التجهيز فإن حجم الماء المجهز إلى المضمار يساوي مجموع حجم الماء الموجود على سطح التربة (الخزين السطحي) زائداً حجم ماء الارتشاح داخل التربة على فرض إن حجم الماء المتاخر خلال تلك الفترة يمكن إهماله (1) ويعبر عن هذه الحالة رياضياً بالمعادلة التالية :

$$q \cdot t = \int_0^s (y + z) dx \quad \dots \dots \dots (11)$$



1: شكل جبهة التقدم للخزين السطحي وتحت السطحي خلال فترة زمنية t دقيقة.

ويمكن كتابة المعادلة (11) بالصيغة التالية

$$Sf = \frac{q \cdot t}{(y_0 + z_0) * s} \quad \dots \dots \dots (12)$$

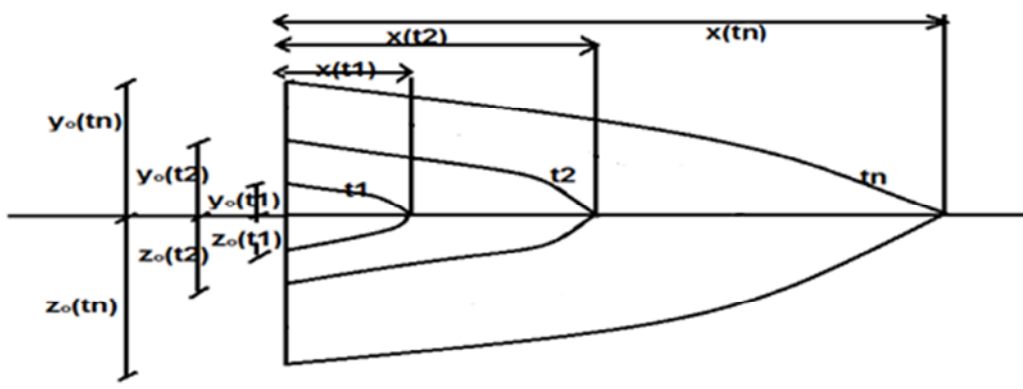
Z_0 : الغيض في مدخل المضمار (L).

Sf : معامل الشكل لمساحة الابتلال وتمثل المساحة الكلية للخزين السطحي والخزين تحت السطحي المستطيل المحيط بها كما يمكن كتابتها بالصيغة التالية:

$$Sf = \frac{\int_0^s (y + z) dx}{(y_o + z_o) * s} \quad (13)$$

طريقة حساب معامل الشكل (SF)

- 4 يتم حساب عمق الجريان الداخلي y_o t
 2 (2) يتم حساب عمق الارتشاح عند مدخل المضمار t
 3 (1) يتم حساب مسافة التقم S حيث يتم حسابه t
 يتم حساب قيمة S بالثانية ويبقى مجهول واحد في المعادلة (12) هو معامل الشكل Sf حيث يتم حسابه
 لكل اختبار من البيانات الموضحة في الجدول (1)
 180, 165, 150, 135, 120, 105, 90, 75, 60,)
 14 دقة كما موضح في الشكل (2) (10, 30, 45, 25,



2 : تقدم جبهة الماء ف

$$Sf(t) = \frac{q \cdot t}{(y_o(t) + z_o(t)) * s(t)} \quad (14)$$

البيانات المستخدمة في الدراسة

تم في هذه الدراسة اعتماد مجموعة من البيانات لتسعة عشر اختبار تتضمن مدى واسع من المتغيرات الداخلة في آلية الري الشرطي المستوي حيث اشتملت هذه البيانات على قيم التصريف الداخل لوحدة واحدة من عرض الشريط تراوحت بين (4.5-1.09) لتر في الثانية وترتب مختلطة تراوحت قيم ثابت معادلة كوسنافر للارتشاح (0.582-0.0087) (k*10³) وقيم أنس المعادلة بين (0.691-0.484) كما تضمنت البيانات ثابت واس معادلة التقدم المأخوذة عن بيانات فعلية لنقدم جبهة الماء مع الزمن على امتداد المضمار بالإضافة إلى معامل ماننك للخشونة الذي تراوحت قيمة بين (0.021-0.26) كما موضح في الجدول (1). أن القيم (q,k,a,n,A,B) التي تم اعتمادها في الدراسة هي نفس القيم المشار إليها وبدون أي تعديل.

5 [6] 4 1 [13] 15 14 [12] 8 13 [11] 19-18 [7] 17 16
 7- [11] 19-14 [7] 19-18 [11] 13 (1) هي التي تم اعتمادها في
 13 (1) هي التي تم اعتمادها في
 وفي تحليل الحساسية . المتغيرات
 الأساسية في آلية الشرطي هي التصريف لوحدة عرض الشريط q ($L^3/T/L$). الخشونة الهيدروليكيه
 . (L/T^a) $\frac{1}{L^6}$. عمق الارتشاح معبر عنها بمعامل واس دالة كوسنافر للارتشاح k,a (n)

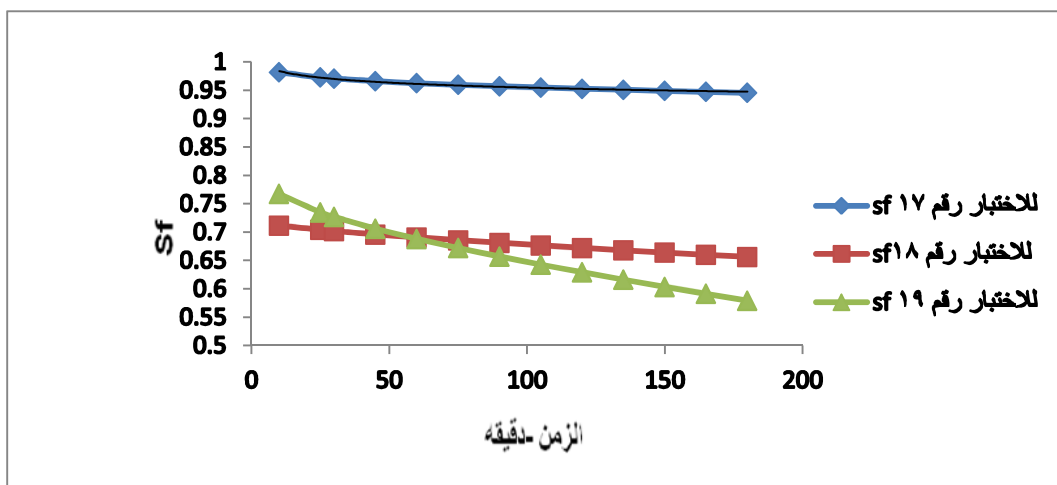
بداية t). أما المتغيرات التابعة في هذه الدراسة فهي معامل الشكل Sf وبذلك يمكن كتابة العلاقة الدالية للمتغيرات أعلاه بالصيغة الآتية :

$Sf = f(q, n, y_0, t, a, k)$ 15
والتي يمكن كتابتها بالصيغة التالية :

في دراسات التحليل في حالة وجود متغير لا بعدي مع المتغيرات الدالة في التحليل مثل (a) في هذه الدراسة فلا تكون حاجة لإدخالها مع المتغيرات البعدية في التحليل ولكن سيضاف إلى المجاميع اللابعدية الناتجة من التحليل . وحسب نظرية – theorem (Buckingham π-term) يجب أن تكون هناك ثلات حدود لا بعدية (π) بالإضافة إلى الحدين sf,a 15 16 أن تخترن إلى الصيغة الآتية :

تم تطبيق الطريقة المبينة سابقاً للموازنة الحجمية والموضحة بالمعادلات من 7 إلى 12 على البيانات الحقيقة المبينة في الجدول 1 المتضمنة 19 اختباراً حقلياً للري الشرطي المستوي . وباستخدام الحاسوب برنامج Excel تم إيجاد كل من مسافة التقدم S وعمق الجريان الداخل المضمار Z_0 بالإضافة Y_0 وعمق الارتشاح في بداية إلى معامل الشكل لجهة الابتلال كاملة (سطحية + تحت السطحية sf)

القيم المقاييس	معامل الشكل S_f	تراوحت بين	القيم المقاييس	معامل الشكل S_f	تراوحت بين
180,165,150,135,120,105,90,75,60,45,30,25,10	0.947	0.55	19,18,17	0.975-0.557	كما يلاحظ أن قيمة
3 بيين	13	1	التغير في قيم معامل الشكل S_f	الشكل تراوحت بين	

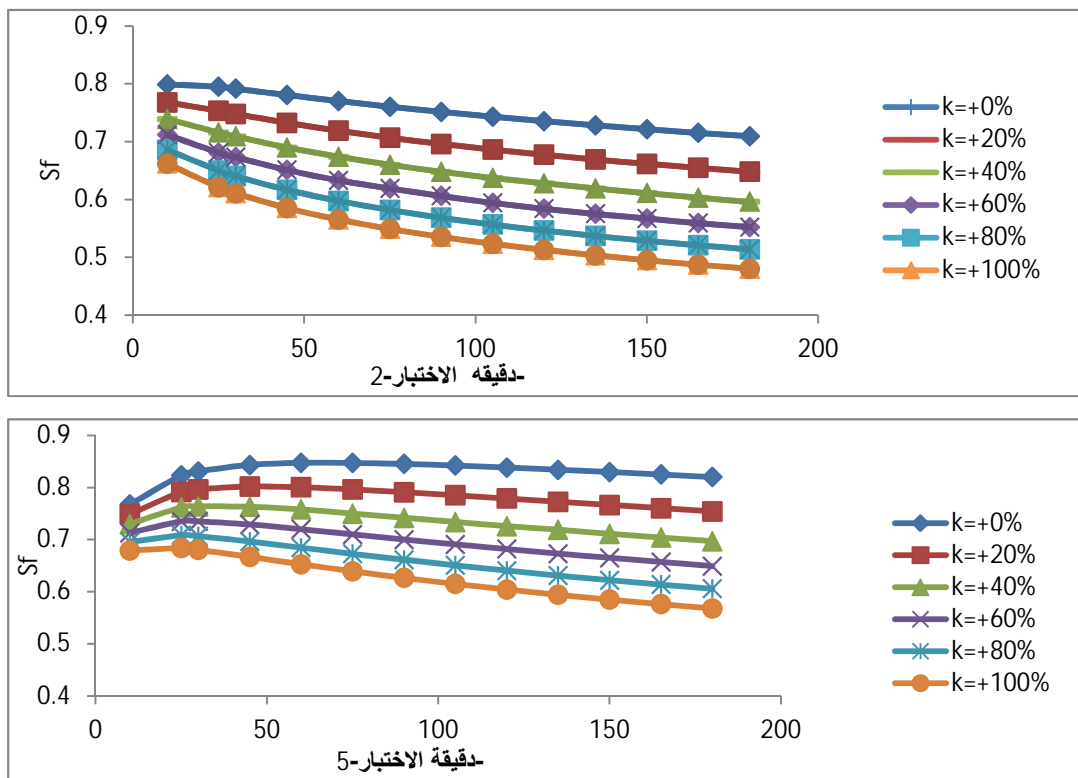


3: يوضح تغير معامل الشكل مع الزمن للاختبارات (17,18,19)

1: قيم المتغيرات للاختبارات الداخلية في التحليل

					الجريان	Run
B	A	n	a	k×1000	q	
	m/min ^b	m ^{1/6}		m/sec ^a	m ³ /s/m	
0.689	5.68	0.0595	0.6135	0.367	0.00228	1
0.725	4.25	0.0673	0.583	0.255	0.00133	2
0.72	6.24	0.0543	0.572	0.582	0.00313	3
0.726	6.75	0.0576	0.62	0.3317	0.00342	4
0.653	5.04	0.0917	0.711	0.077	0.001326	5
0.7	7.18	0.0505	0.591	0.23	0.00269	6
0.766	6.33	0.061	0.511	0.32	0.00277	7
0.78	4.58	0.026	0.5814	0.217	0.00109	8
0.757	6.27	0.03	0.658	0.114	0.00177	9
0.786	6.11	0.032	0.607	0.187	0.00212	10
0.739	6.29	0.025	0.691	0.105	0.0018	11
0.8	7.24	0.021	0.6439	0.04536	0.002013	12
0.8	4.68	0.03	0.5369	0.054166	0.001268	13
0.8635	3.8589	0.05	0.49	0.0845	0.002	14
0.7087	7.193	0.05	0.519	0.10316	0.002	15
0.732	11.41	0.04	0.68	0.008778	0.0045	16
0.6415	7.316	0.26	0.67	0.07786	0.00426	17
0.8	4.79	0.0655	0.484	0.67	0.00204	18
0.724	7.41	0.022	0.738	0.063	0.0024	19

ولغرض معرفة تأثير التغيير بقيم معامل ماننک للخشونة وثابت معادلة كوستا كوف لالرتشاح k والتصريف على معامل الشكل المقترن في الدراسة الحالية تم رسم العلاقة بين زمن النقدم (دقيقة) مع معامل الشكل للاختبارات (2 و 5) لقيم متزايدة لـ k بنسبة (100, 80, 60, 40, 20) % من القيمة الأصلية وكما موضح في الشكل 4 حيث يلاحظ ان قيمة معامل الشكل تقل كلما زادت قيمة الثابت k ، كذلك يلاحظ ان قيمة Sf تقل كلما زاد زمن النقدم . وتبيّن الجدول 2 مقدار النقصان الحاصل في قيمة معامل الشكل بزيادة قيمة k مع بقاء قيم كل من q و n ثابتة عند الزمن 180 دقيقة من بداية التجهيز للاختبارات 2 و 5 حيث يلاحظ ان النقص الحاصل بقيمة Sf هو اكثـر من 30 % للاختبارين .

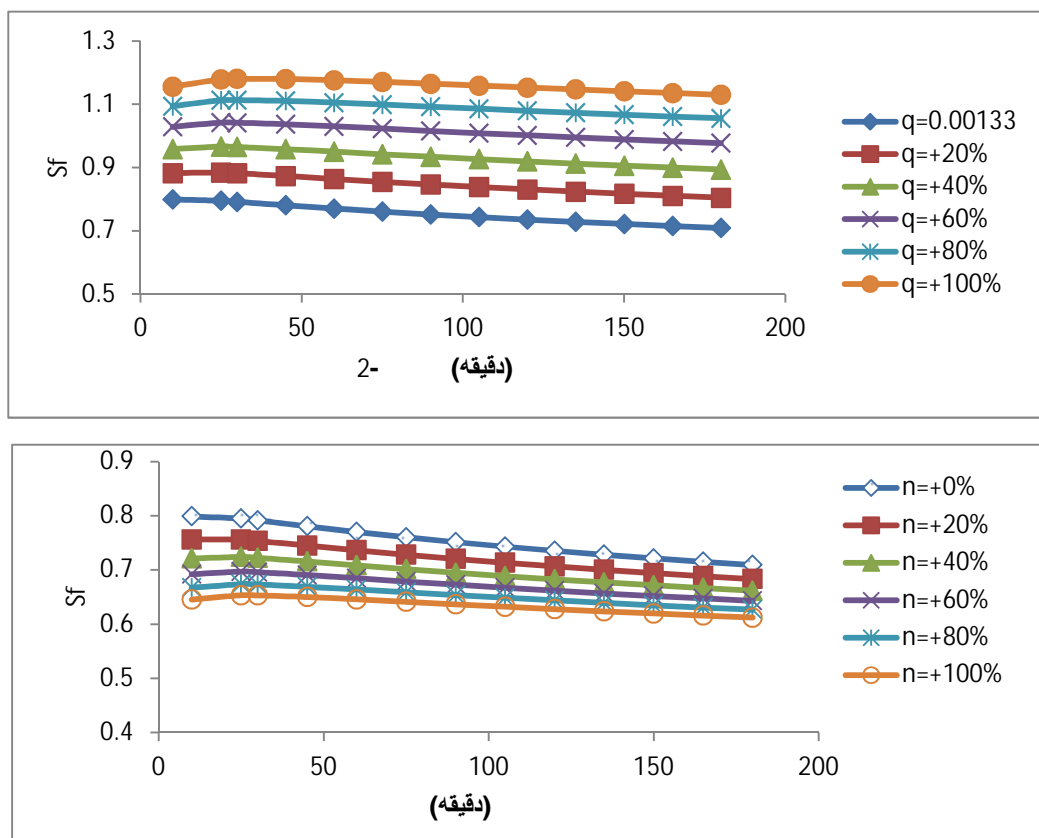


(5.2) 4: تأثير تغير معامل الشكل الحقيقي مع

2 : تأثير تغير ثابت دالة الارشاح على معامل الشكل

(5)			(2)		
% نسبة التغير بـ (Sf)	Sf	K*10 ³ m/s ^a	% نسبة التغير بـ (Sf)	Sf	K*10 ³ m/s ^a
0	0.8203	K=0.077	0	0.709	K=0.255
-24.57	0.7543	1.2k	-8.615	0.648	1.2k
-30.3	0.697	1.4k	-15.96	0.596	1.4k
-35.1	0.649	1.6k	-22.17	0.552	1.6k
-39.42	0.6058	1.8k	-27.58	0.514	1.8k
-43.19	0.5681	2k	-32.32	0.48	2k

5 يبين تغير معامل الشكل مع زمن التقدم لقيم متزايدة لمعامل ماننك n (100,80,60,40,20)%
 (5.2) قيم كل من q ثابتة حيث يلاحظ قيم معامل الشكل
 الزمن وبالتالي مع مسافة التقدم ،كما تبين قيم معامل الشكل عند زمن نقل بزيادة معامل الخشونة وان قيم معامل الشكل تكون ثابتة مع الزمن عند زيادة معامل الخشونة بمقدار 100% اي عند قيمة معامل ماننك العالية .
 وبين الجدول 3 مقدار التغير بمعامل الشكل بتغير قيمة معامل ماننك للخشونة عند 5,2 دقيقة لاختبارات 180 التوالي حيث يلاحظ أن قيمة معامل الشكل تقل بمقدار 13% تقريبا عند زيادة معامل ماننك بنسبة 100% مع بقاء بقية المتغيرات ثابتة .أن نسبة الخطأ في حساب قيمة معامل ماننك له تأثير على قيمة معامل الشكل المحسوبة اقل من تأثير التغير في قيمة أس الارشاح 6 تبين العلاقة بين زمن التقدم (دقيقة) مع معامل الشكل لقيم متزايدة للتصريف بنساب (100,80,60,40,20)% حيث تبين الأشكال المذكورة أن قيمة معامل الشكل عند أي زمن تزداد بزيادة التصريف ،كما يتضح من الأشكال أن قيمة معامل الشكل تكون اكبر من واحد عند زيادة التصريف بمقدار 60% من قيمته الاصلية.



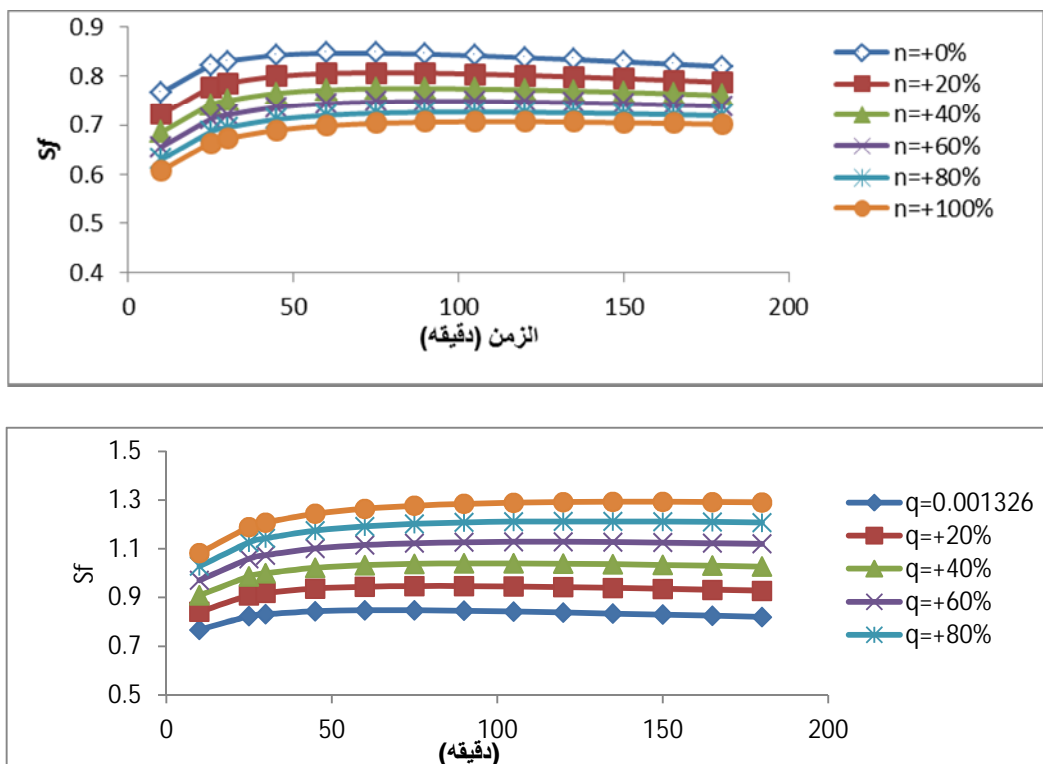
5: تأثير تغير معامل ماننك على معامل الشكل الحقيقي للاختبار (2)

(180) دقيقة

(5 2)

3: تأثير تغير معامل

(5)			(2)		
% نسبة التغير بـ (S_f)	S_f	n	% نسبة التغير بـ (S_f)	S_f	n
0	0.8203	$n=0.092$	0	0.7092	$n=0.0673$
-3.9132	0.7882	$n=1.2n$	-3.6379	0.6834	$n=1.2n$
-7.14373	0.7617	$n=1.4n$	-6.68359	0.6618	$n=1.4n$
-9.91101	0.739	$n=1.6n$	-9.32036	0.6431	$n=1.6n$
-12.3369	0.7191	$n=1.8n$	-11.6187	0.6268	$n=1.8n$
-14.4825	0.7015	$n=2n$	-13.6774	0.6122	$n=2n$



6: تأثير تغير التصريف على معامل الشكل الحقيقي للاختبار (2)

يبين الجدول 4 مقدار التغير بمعامل الشكل بتغيير قيمة التصريف عند الزمن 180 دقيقة للاختبارات 5,2 على التوالي حيث يلاحظ أن زيادة التصريف بمقدار 100% مع ثبوت بقية المتغيرات سبب زيادة بمقدار 60% تقريباً في معامل الشكل عن القيمة الأصلية وبهذا يكون تأثير الخطأ في قياس التصريف الداخلي على النتائج أدنى من تأثير معامل مانعك وثابت.

4 تأثير قيمة التصريف على معامل الشكل

(180) دقيقة (5,2) (2)

(5)			(2)		
نسبة التغير بـ % (Sf)	Sf	q m³/s/m	نسبة التغير بـ % (Sf)	Sf	q m³/s/m
0	0.820301	Q=0.001326	0	0.70919	q=0.00133
13.08	0.927606	1.2q	13.48	0.804791	1.2q
25.2	1.026982	1.4q	26.01	0.893625	1.4q
36.56	1.120202	1.6q	37.75	0.976879	1.6q
47.22	1.207618	1.8q	48.82	1.05543	1.8q
57.31	1.290385	2q	59.33	1.129946	2q

S_f

تم تحويل النتائج التي تم الحصول عليها من البرنامج الحاسوبي بدلاله العبارات اللاابعدية التي تم الحصول عليها من التحليل (a, $y_0^{2a} \cdot k$, $\frac{n}{q^a \cdot y_0}$, $\frac{q \cdot t}{y_0^{1/6}}$, $\frac{y_0^2}{y_0^2}$):

للاختبارات (10,4,2)، أي أن مجموع البيانات التي تم الحصول عليها لقيم معامل الشكل (169) قيمة أخذين بنظر الزيمة 13 فتره لكل اختبار (10,120,105,90,75,60,45,30,25,10) دقيقة (180,165,150,135,120,105,90,75,60,45,30,25,10) دقيقة

مع استبعاد بعض القيم كونها ظهرت عن بقية النتائج . طريقة Non linear regression (الإحصائية SPSS : Special program for Statistical System تم الحصول على العلاقة التي تربط معامل الشكل مع العبارات الابعدية وتم الحصول على المعادلة التالية لحساب معامل الشكل .

$$Sf = 2.315 - 7.1 \times 10^{-6} \cdot 1^{1.0725} - \frac{6.8 \times 10^{-4}}{2^{1.69}} \cdot 2.407 \times 3^{0.105} - 0.955 \cdot 4^{5.2} \dots 18$$

وباستخدام قيم Sf يتم حساب مسافة التقدم مع الزمن بعد معرفة المتغيرات (q, n, a, k) .

التحقق من النموذج ومقارنته مع النماذج السابقة

لغرض فحص ومعايرة النموذج الرياضي المقترن تم مقارنة النموذج الحالي لحساب مسافة التقدم لجبهة الابتلال مع الزمن The soil conservation service ,SCS of the Fok and Bishop(1965) على البيانات الحقلية الفعلية للاختبارات (14-19) وكما موضح في الشكل- 7 يتضح من الإشكال (USDA 1974) النموذج المقترن يعطي تطابقاً جيداً مع البيانات الحقلية ،أنه كان أفضل من النتائج التي تم الحصول عليها النموذجين المقترنين من قبل SCS Bishop .

تحليل الحساسية للنموذج المقترن:

لغرض معرفة حساسية النموذج المقترن إزاء التغير في قيم المتغيرات الداخلة في إليه الري الشرطي المستوى تم دراسة تأثير زيادة قيمة أحد المتغيرات بنسبة 40-60-80-100% (100) من القيمة الأصلية معبقاء بقية المتغيرات ثابتة على معامل الشكل وعلى مسافة التقدم عند الزمن 45 دقيقة من بداية التجهيز وكما يلاحظ في الجدول 6 للبيانات المأخوذة عن الاختبار رقم 17 والجدول 6 للاختبار رقم 18 حيث يلاحظ ما يلي : أن زيادة قيمة التصريف الداخلي بنسبة 100% مع بقاء بقية المتغيرات ثابتة بما في ذلك أس وأساس معادلة التقدم أدى إلى زيادة قيمة معامل الشكل بمقدار 4% في حالة الاختبار رقم 17 و 7% للاختبار رقم 18 علماً أن نسبة الزيادة بمسافة التقدم هي 32% و 39% للاختبارين 17 و 18 على التوالي أظهرت النتائج كذلك أن زيادة قيمة معامل الخشونة بمقدار 100% أدت إلى فرق ضئيل في قيمة معامل الشكل بمقدارها 0.6% فقط للاختبار رقم 17 أي أنها ثابتة تقريباً في حين كانت الزيادة بحدود 4% للاختبار رقم 18 في حين كانت الزيادة بحدود 20% لكلا الاختبارين بالنسبة لمسافة التقدم . أما زيادة قيمة أساس معادلة الارتشاح K بمقدار 100% أدى إلى نقصان بقيمة معامل الشكل بمقدار 10% للاختبار رقم 17 و 17% للاختبار رقم 18 ويلاحظ أن تأثير التغير يزداد كلما كانت قيمة K الأصلية أكبر على العكس من التغير في قيمة معامل مانثك .

- من خلال الدراسة الحالية وحسب الفرضيات التي استندت عليها والبيانات التي تم اعتمادها يمكن استنتاج مايلي :
- 1. استنباط نموذج رياضي عملي وبسيط ويعطي نتائج جيدة لحساب دالة التقدم للري الشرطي المستوى .
- 2. إيجاد معادلة تربط معامل الشكل المقترن لكامل مساحة الابتلال السطحية وتحت السطحية وبمعامل

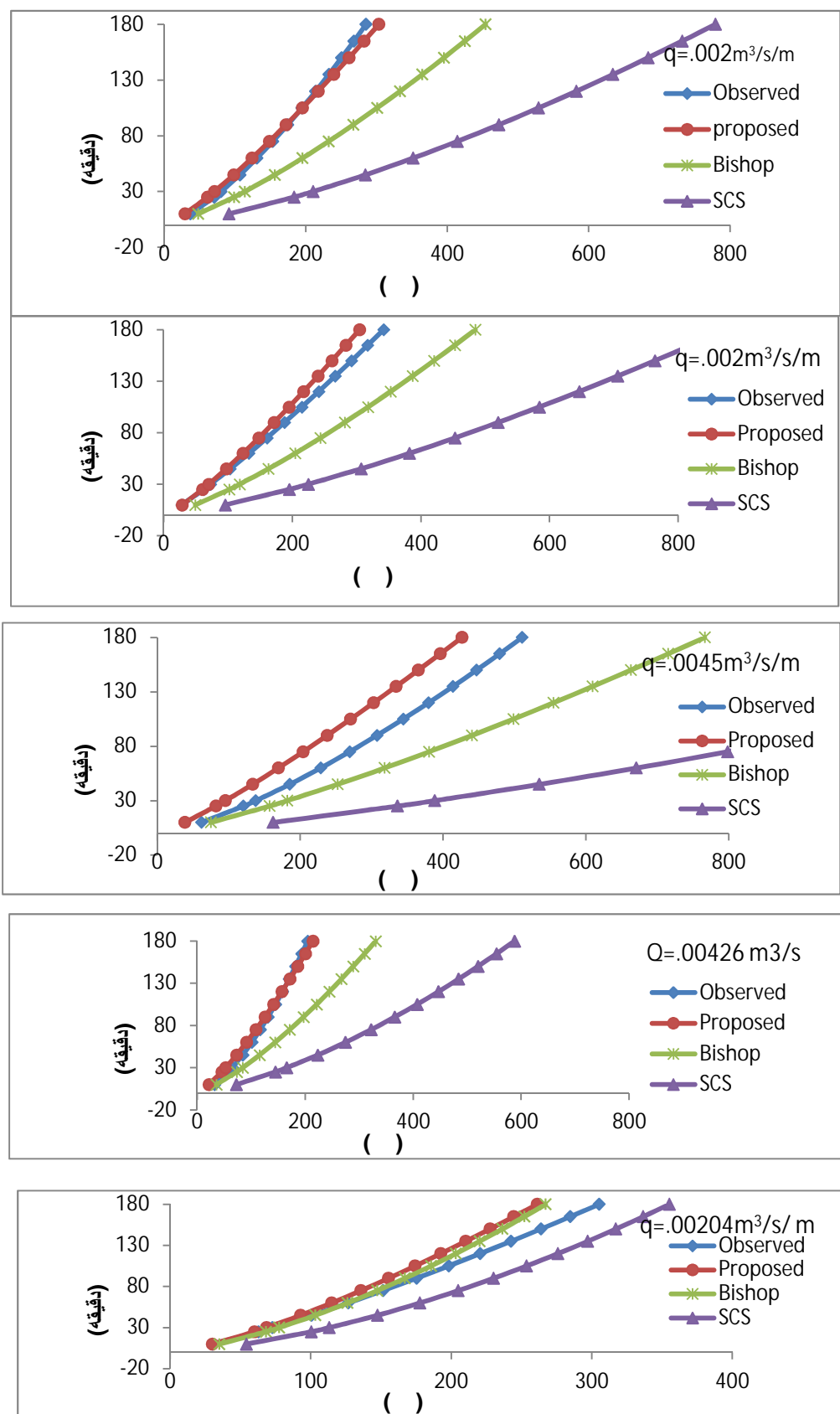
$(R^2=0.799)$. إن قيمة معامل الشكل المقترن متغيره مع مسافة التقدم

5: نموذج لنتائج العبارات الابعديه مع معامل الشكل للاختبارات (10,4,2)

Sf	$\pi_4 = a$	$\pi_3 = \frac{y_o^{2a} \cdot k}{q^a \cdot y_o}$	$\pi_2 = \frac{n}{\frac{1}{6} y_o^2}$	$\pi_1 = \frac{q \cdot t}{y_o^2}$	t(min)
0.71769	0.583	0.006899	0.118451	705.1653	10
0.70297	0.583	0.007074	0.115509	1303.603	25
0.69926	0.583	0.007109	0.114943	1474.788	30
0.68962	0.583	0.007186	0.113707	1943.035	45
0.68125	0.583	0.00724	0.112853	2366.548	60
0.67361	0.583	0.007282	0.112205	2760.821	75
0.66645	0.583	0.007316	0.11168	3131.524	90
0.65964	0.583	0.007344	0.111243	3485.527	105
0.65308	0.583	0.007369	0.110869	3825.808	120
0.64672	0.583	0.007391	0.110544	4154.893	135
0.64052	0.583	0.00741	0.110253	4473.106	150
0.63446	0.583	0.007427	0.109996	4784.431	165
0.6285	0.583	0.007443	0.10976	5086.655	180
0.79845	0.62	0.005561	0.093736	707.8924	10
0.78606	0.62	0.005762	0.091451	1316.227	25
0.7829	0.62	0.005801	0.091014	1491.256	30
0.77467	0.62	0.00589	0.090066	1972.531	45
0.76756	0.62	0.005952	0.089409	2409.007	60
0.76112	0.62	0.006	0.088912	2816.532	75
0.75515	0.62	0.006039	0.088516	3203.266	90
0.74952	0.62	0.006072	0.088184	3572.497	105
0.74416	0.62	0.0061	0.087901	3928.595	120
0.739	0.62	0.006124	0.087656	4273.773	135
0.73403	0.62	0.006146	0.087438	4609.055	150
0.72919	0.62	0.006166	0.087244	4936.178	165
0.7245	0.62	0.006184	0.087067	5255.946	180

6: تأثير زيادة المتغيرات (q,n,k) على (17) (45) دقيقة

18				17				المتغير
نسبة التغيير		موديل x	M	نسبة التغيير		موديل x	M	
x	Sf	92.8	0.69	x	Sf	72.67	0.96	%
9.41	2.11	101.5	0.71	7.7	1.1	78.33	0.97	20
17.9	3.88	109.4	0.72	14.7	2.1	83.42	0.98	40
25.6	5.39	116.6	0.73	21.1	2.9	88.07	0.99	60
32.86	6.71	123.3	0.74	27.1	3.6	92.38	1.0	80
39.57	7.88	129.5	0.75	32.6	4.3	96.39	1.0	100
-6.14	1.62	87.1	0.70	-6.0	-0.1	68.27	0.96	20
-10.8	2.7	82.7	0.71	-11	-0.2	64.75	0.963	40
-14.68	3.5	79.1	0.72	-14	-0.4	61.85	0.962	60
-17.8	4.1	76.2	0.72	-18	-0.5	59.4	0.961	80
-20.5	4.5	73.7	0.72	-21	-0.6	57.29	0.959	100
5.47	-4.3	97.9	0.66	1.1	-2.4	73.47	0.943	20
10.68	-8.1	102.7	0.63	1.8	-4.5	74.04	0.922	40
15.71	-11.5	107.4	0.61	2.4	-6.3	74.43	0.905	60
20.60	-14.4	111.9	0.59	2.7	-7.9	74.7	0.889	80
25.38	-17.2	116.3	0.57	3.1	-9.4	74.86	0.875	100



(14-18) ومقارنته مع النماذج الأخرى

: 7

- 1- Fok Y.S., and Bishop, A.A. (1965). "Analysis of water advance in surface irrigation ". Irrig. And Drain,Div.,ASCE,91(1),99-116.
- 2- Hall W.A.,(1956). "Estimating Irrig. Border Flow". Engineering Agriculture Vol.37.No.419,263-265
- 3- Lewis, M.R., and Milne, W.E.,(1938),"Analysis of Border Irrigation ". Agriculture Engineering, Vol.19,June pp.267-272 Strelkoff. T. (1977). "Al-gebric computation of flow in border irrigation". J.Irrig. And Drain Div . ASCE, Vol.103,No.IR3,PP.357-377.
- 4- Strelkoff. T.(1977)."Al-gebric computation of flow in border irrigation". J. Irrig. And Drain Div. ASCE,Vol 103No.3,pp.357-377.
- 5- Soil Conservation services (SCS) United States Department of Agriculture "Border irrigation "Chapter 4. Section 15. 1974.
- 6- Hassan Y.S(1996)"Inlet Depth and Water Advance in Level Border Irrigation system" Ph.D dissertation to the college of engineering university of mosul.
- 7- John, D. Valaintzas (1993),"Border Advance Using Improved Volume-Balance Model" J. Irrig. And Drain Div. ASCE,Vol 119No.6,pp.1006-1013
- 8- Monserrat, J. and J.Barragan,(1998)."Estimation of surface volume in Hydrological Models for Border Irrigation" J.Irrig. And Drain Div. ASCE,Vol.124, .September/October No.5.
- 9- Clemens, A.J. and E. Bautista, (2009)"Toward physically based estimation of surface irrigation. J. Irrig. And Drain Div. ASCE,Vol 135No.5,pp.588-596.
- 10- Strelkoff T.S. ,Clemens A, J and Bautista E.(2011)."The infiltration profile in surface irrigation-A generic approach"". J. Irrig. And Drain Div. ASCE, posted to print August 26,2011.
- 11- Ahmed, TH.M. (1990). "Water distribution in level-border irrigation systems" MS.C.Thesis to The College of Engineering university of Baghdad.
- 12- Jaleel, AK.M(1989) "Hydraulics of water flow and distribution in level border irrigation "MS.C.Thesis To The College of Engineering university of Baghdad.
- 13-Abdul Khalliq, M.I., and Shafiq,A.(1994). " Evaluation of Kostakov infiltration Equation parameters From Irrigation Advance in level border".pak.J.Agri,Sa,Vol.31,No.3
- 14 حاجم ، احمد يوسف وياسين ، حقي إسماعيل (1992) . هندسة نظم الري الحقلي ، دار الكتب للطباعة والنشر /
- 15 العاني ، افتخار عبد الجود (2000) . "تطوير نموذج رياضي للموازنة المائية الحجمية في الري الشريطي " رسالة ماجستير ، كلية الهندسة ، جامعة الموصل .

تم اجراء البحث في كلية الهندسة =